

Повышение интенсивности пучка протонов в шестиметровом фазотроне ОИЯИ

В. И. Данилов, И. Б. Енчевич, Б. И. Замолодчиков, Б. Н. Марченко, Д. Л. Новиков,
Э. А. Полферов, Е. И. Розанов, А. Л. Савенков, А. Н. Сафонов

В статье описаны результаты работ, проведенных в 1961—1962 гг., по формированию высокочастотных характеристик шестиметрового фазотрона Объединенного института ядерных исследований. Полученные результаты позволили обеспечить одновременно оптимальные условия захвата и ускорения пучка протонов до конечного радиуса практически без фазовых потерь. В результате ток ускоренных протонов на конечном радиусе был увеличен с 0,3 до 1,1—1,2 мкА.

При анализе фазового движения в фазотроне различают два основных этапа [1]: захват частиц в режим ускорения и их фазовое движение в процессе ускорения до конечного радиуса. Как для первого, так и для второго этапа необходимо сформировать такие высокочастотные характеристики зависимости частоты и амплитуды ускоряющего напряжения $\omega_s = \omega_s(t)$ и $V_0 = V_0(\omega_s)$, при которых интенсивность частиц, ускоряемых до конечного радиуса, будет максимальной. Следует отметить, что в центральной области фазотрона набор энергии ионом за оборот при неизменном ускоряющем напряжении V_0 зависит от радиуса орбиты, а также от геометрии ионного источника и дуанта.

Если аппроксимировать распределение напряженности электрического поля вдоль оси y , перпендикулярной ускоряющей кромке дуанта, выражением

$$E(y) = \frac{V(t)}{D} \cdot \frac{1}{1 + \frac{\pi^2}{D^2} y^2}, \quad (1)$$

то набор энергии ионом за оборот в начале ускорения можно представить как

$$\Delta E = 2eV_0 \frac{D}{\pi} \left(\sqrt{\frac{1}{r^2} + \frac{\pi^2}{D^2}} - \frac{1}{r} \right) \sin \varphi \quad (2)$$

вместо $\Delta E = 2eV_0 \sin \varphi$, что справедливо при бесконечно узкой ускоряющей щели. В приведенных выражениях D — апертура дуанта, r — радиус орбиты, φ — фаза высокочастотного ускоряющего напряжения $V(t)$, при которой ион пересекает середину ускоряющей щели.

На рис. 1 показаны кривые максимально возможного набора энергии протоном за оборот

в функции радиуса. Кривая a вычислена аналитически по формуле (2), а b рассчитана при помощи картины потенциального поля дуанта, полученной моделированием в электролитической ванне дуанта, ионного источника и ускорительной камеры фазотрона ОИЯИ.

Сравнение кривых относительного набора энергии за оборот eV/eV_0 в отмеченных случаях указывает на то, что электрическое поле в средней плоскости вблизи центра машины можно

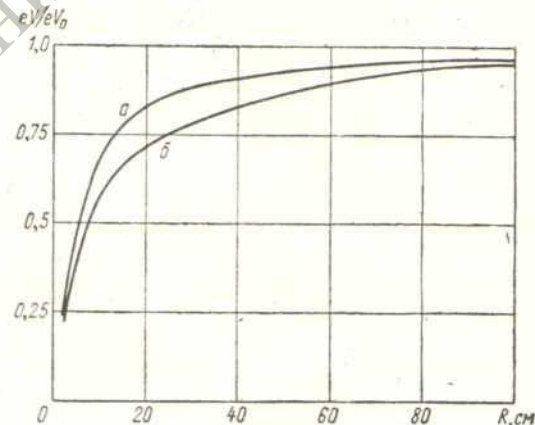


Рис. 1. Относительный набор энергии протоном за оборот в зависимости от радиуса орбиты.

с достаточной точностью описать уравнением (2). Поэтому фазовое уравнение для малых радиусов с учетом (2) можно записать как

$$\ddot{\varphi} + \frac{eV_0 \omega_0^2 K}{\pi E_0} \cdot \frac{D}{\pi} \left(\sqrt{\frac{1}{r^2} + \frac{\pi^2}{D^2}} - \frac{1}{r} \right) \sin \varphi = -\dot{\omega}_0, \quad (3)$$

где ω_0 , E_0 — круговая частота обращения и полная энергия протона; $\dot{\omega}_0$ — скорость изменения во времени частоты генератора; $K = 1 + \frac{n}{(1-n)\beta^2}$.

Решение и анализ полученного фазового уравнения с целью выяснения оптимальных условий захвата в режим ускорения представляют большие трудности.

Так как прирост энергии ускоряемого иона за оборот и изменение частоты обращения иона связаны соотношением

$$\frac{\Delta\omega}{\omega} = -K \frac{\Delta E}{E}, \quad (4)$$

то в этом случае следует ожидать, что при оптимальных условиях захвата скорость изменения частоты ускоряющего напряжения должна быть

Корректировкой параметров резонансной системы ускорителя получена зависимость частоты от времени $\omega_s = \omega_s(t)$ (рис. 2, кривая *a*) с указанным значением $(\dot{\omega}_s)_{\text{нач}}$ в начале ускорения, что привело к увеличению тока внутреннего пучка от 0,3 до 0,8 мкА на конечном радиусе 274,5 см.

Ток протонов измерялся по наведенной активности алюминиевой мишени. Реакция

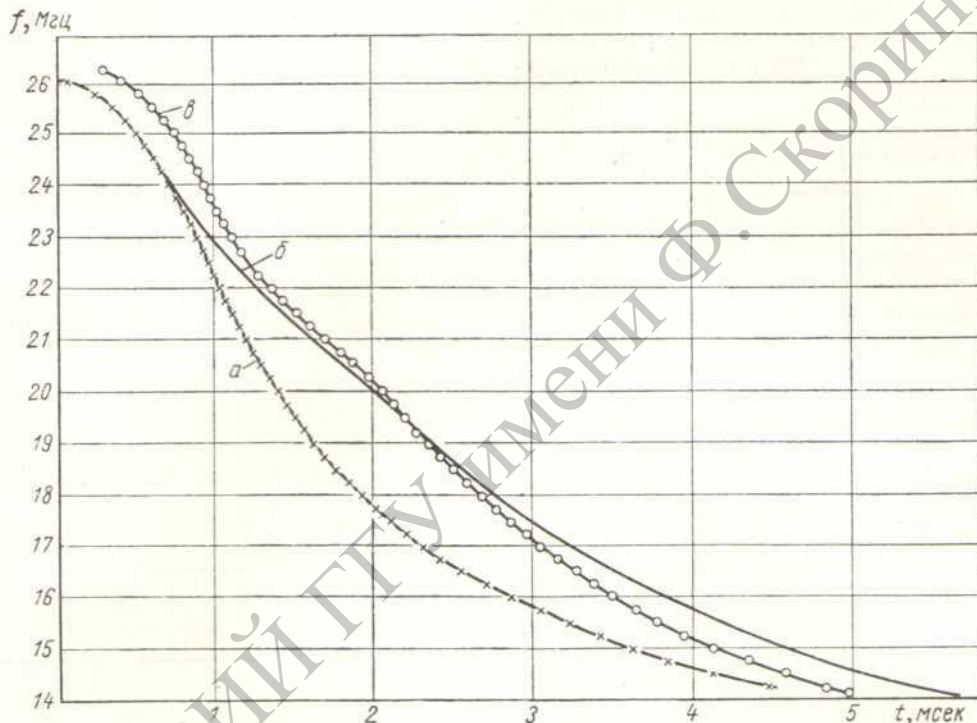


Рис. 2. Частотные характеристики резонансной системы фазотрона.

меньше, чем при бесконечно узкой ускоряющей щели. Экспериментально величина $(\dot{\omega}_s)_{\text{нач}}$, обеспечивающая оптимальные условия захвата, определялась измерением тока на радиусе 30 см. Выбор такого радиуса обусловлен необходимостью исключить влияние изменений фазовых условий при ускорении протонов в области средних и конечных радиусов. Величина $(\dot{\omega}_s)_{\text{нач}}$ в этом случае варьировалась в широком диапазоне изменением напряженности магнитного поля в центре ускорителя. Для существующей амплитуды напряжения на дуанте и геометрии ускоряющего промежутка в центре фазотрона ОИЯИ оптимальная величина $(\dot{\omega}_s)_{\text{нач}}$ оказалась равной $2,25 \cdot 10^{10} \text{ сек}^{-2}$ [2].

$\text{Al}^{27}(p, 3pn)\text{Na}^{24}$, облучаемой на радиусах 270—280 см. Мишень со свинцовой подкладкой калибровалась на выведенном из камеры пучке протонов при помощи цилиндра Фарадея.

Второй этап работы состоял в изменении высокочастотных характеристик $\omega_s = \omega_s(t)$ и $V_0 = V_0(\omega_s)$, одновременно обеспечивающем оптимальные условия захвата ионов и их последующее ускорение до конечного радиуса без фазовых потерь.

При выборе частотной зависимости, для того чтобы учсть затухание фазовых колебаний в процессе ускорения протонов до конечного радиуса ускорителя, использовалась инвариантность интеграла действия J при адиабатических изменениях параметров системы.

В данном случае интеграл действия имеет вид

$$J = \oint I_\phi d\phi, \quad (5)$$

где

$$I = \frac{E_s}{\omega_s^2 K_s}; \quad K_s = 1 + \frac{n}{1-n} \cdot \frac{1}{\beta_s^2};$$

$$\dot{\varphi} = \sqrt{\frac{2eV_0\omega_s^2 K_s}{\pi E}} \sqrt{\cos \varphi_s + \varphi \sin \varphi_s + g}$$

(здесь g — постоянная интегрирования фазового уравнения, ω_s , β_s , E_s — частота обращения, относительная скорость и полная энергия равновесного иона соответственно).

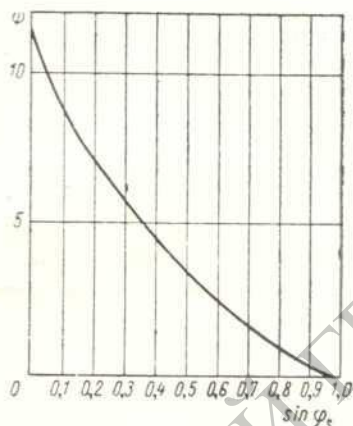


Рис. 3. График для определения допустимого роста $\sin \varphi_s$.

Для границы области фазовой устойчивости зависимость $\Psi = \int \dot{\varphi} d\phi$ от $\sin \varphi_s$, полученная численным интегрированием уравнения (5), показана на рис. 3.

Используя приведенную зависимость $\Psi = \Psi(\sin \varphi_s)$, можно определить допустимый рост $\sin \varphi_s$, при котором ускоряемые частицы, находящиеся в области устойчивых фазовых колебаний на плоскости $(\phi, \dot{\phi})$ в начале ускорения, не выйдут из нее в процессе ускорения до конечного радиуса. По полученной зависимости $\sin \varphi_s = f(R, t)$ можно рассчитать соответствующую частотно-временную характеристику $\omega_s = \omega_s(t)$. Такая характеристика показана на рис. 2 (кривая б). На этом рисунке показана также частотная характеристика (кривая а), которая была получена в конце 1961 г.

после установки на вариатор частоты статорных пакетов новой формы. Как видно из приведенного рисунка, эта характеристика близка к расчетной.

Форма новых пакетов, определенная экспериментально, показана на рис. 4. На рис. 5 дано для сравнения изменение тока по радиусу

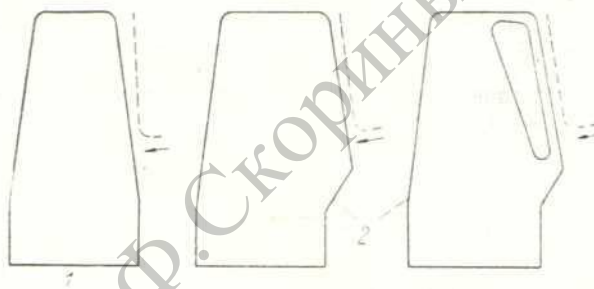


Рис. 4. Конфигурация статорных пакетов вариатора частоты:
1 — форма пакетов, использовавшихся ранее; 2 — форма новых пакетов.

при двух высокочастотных характеристиках. Из сопоставления их видно, что при частотной программе (кривая б на рис. 2) были в основном

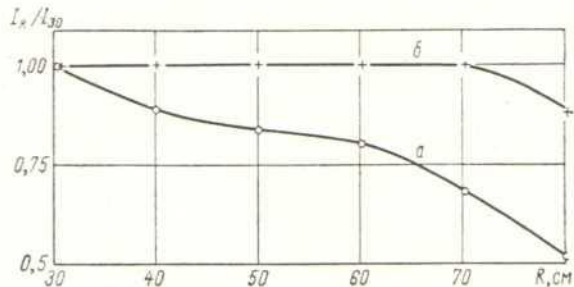


Рис. 5. Относительное изменение тока в зависимости от радиуса до (a) и после (b) устранения фазовых потерь.

устранены фазовые потери в области радиусов 30—80 см, что в свою очередь привело к увеличению внутреннего тока протонов на конечном радиусе ускорителя до 1,1—1,2 мкА.

Поступила в Редакцию 10/V 1963 г.

ЛИТЕРАТУРА

1. D. Bohm, L. Foldy. Phys. Rev., 72, 649 (1947).
2. Б. И. Замолодчиков, Д. Л. Новиков, Э. А. Полферов. Препринт Р-720 ОИЯИ, 1961.